



# 锦屏中微子实验研究进展

李进京

邮箱: lijinjing@hnu.edu.cn

湖南大学物理与微电子科学学院

代表锦屏中微子合作组

2025年9月20日于武汉,第七届粒子物理天问论坛





- ・简介
  - ・中国锦屏地下实验室
  - ・锦屏中微子实验
- ・一吨原型机
- ・五百吨探测器
- ・总结

# 锦屏中微子实验简介

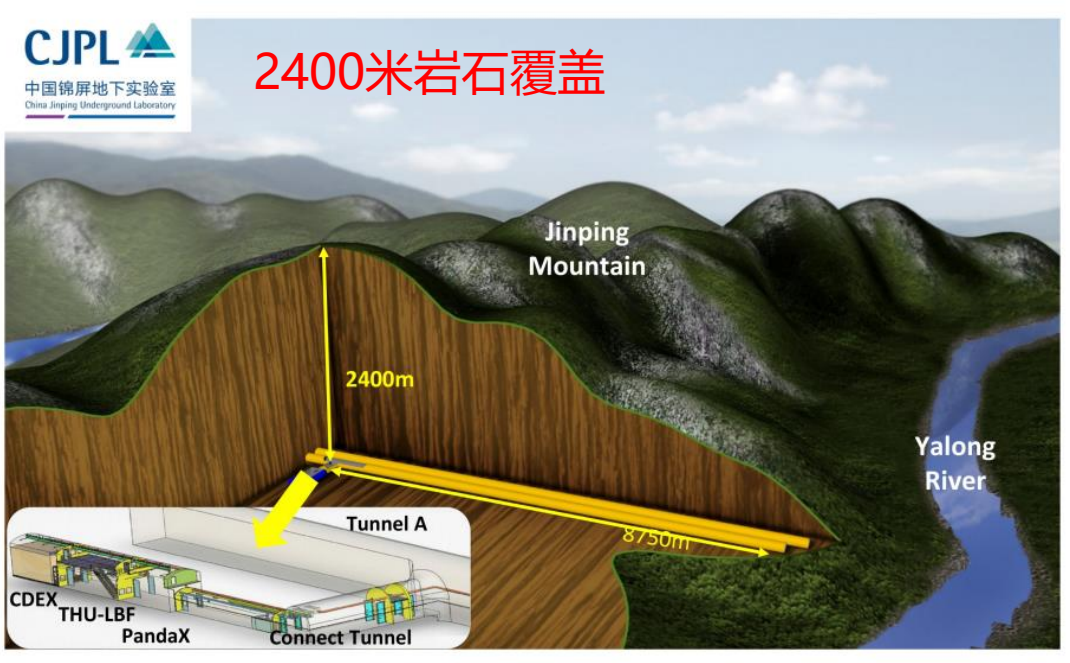






### 具有国际实验室中最低的宇宙线本底和反应堆本底



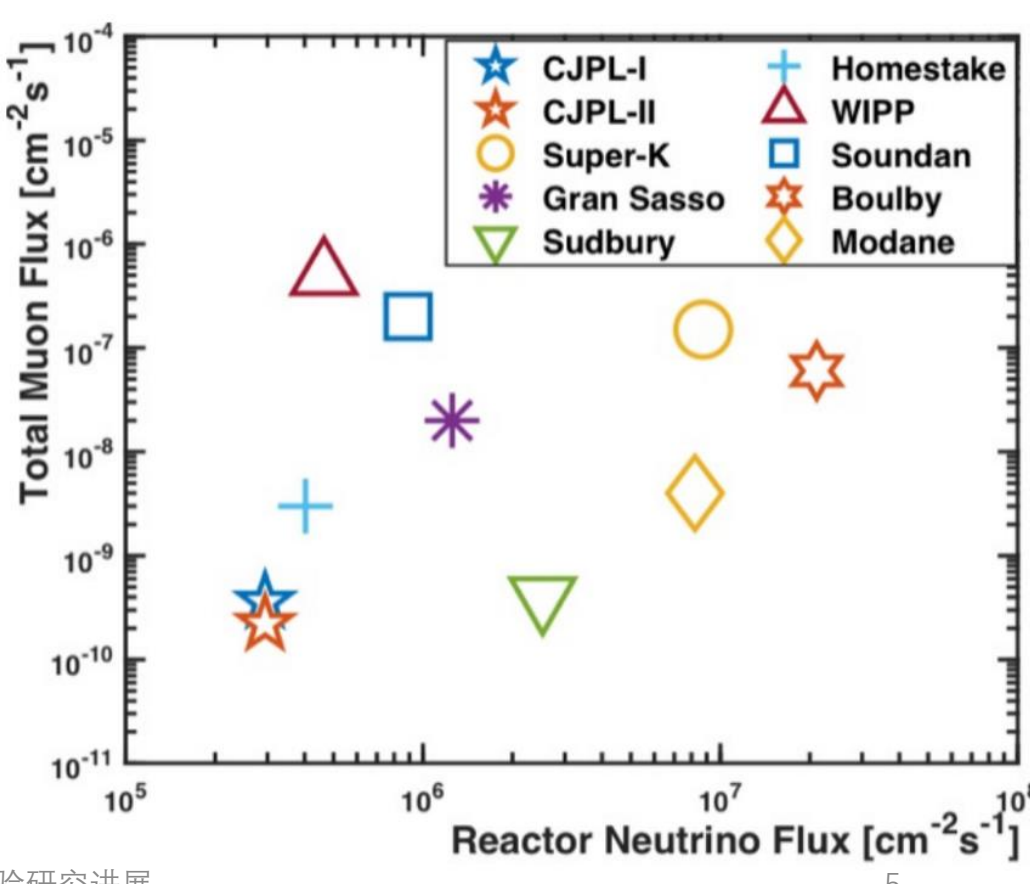




# 中国锦屏地下实验室 CJPL

### 具有国际实验室中最低的宇宙线本底和反应堆本底











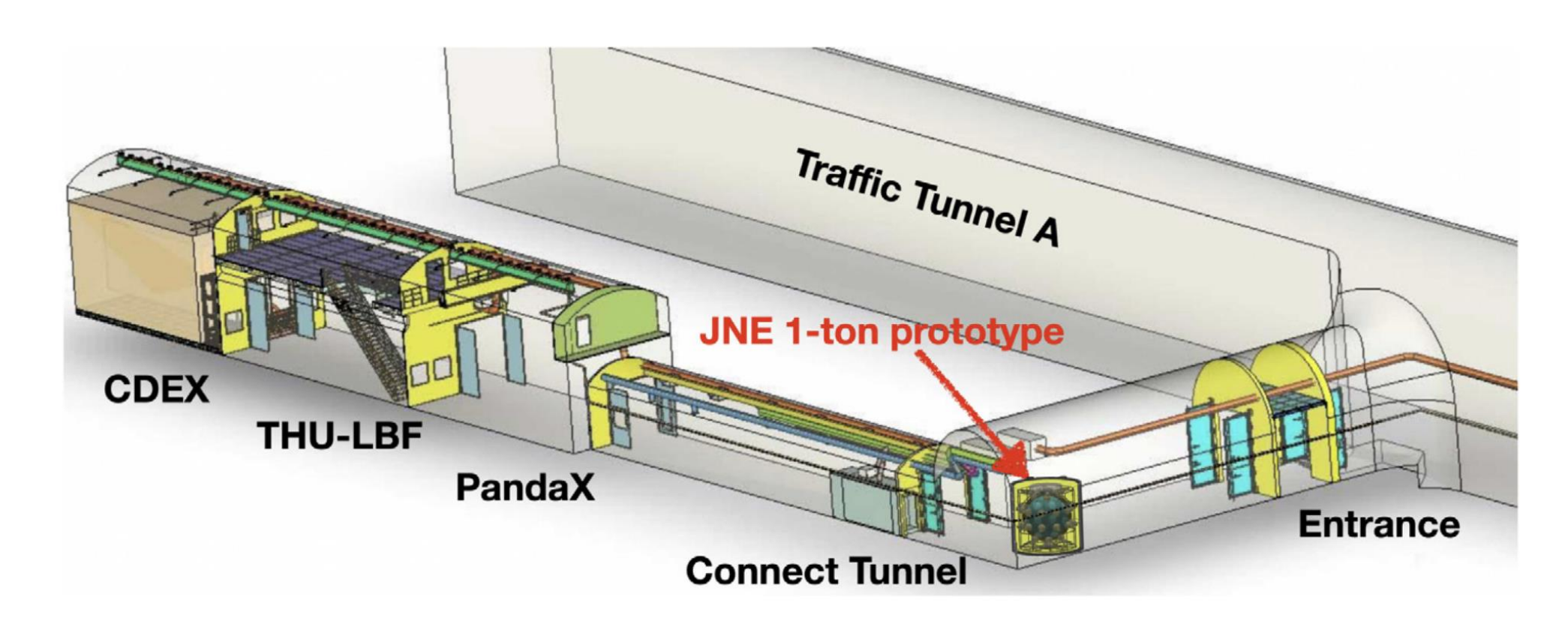
锦屏D2厅基坑岩石样本

- 周围岩石以大理岩为主
- 主要岩石放射性核素含量低于北京地表 正常环境的约几十分之一到几百分之一



# CJPL一期

· 锦屏中微子一吨原型机自2017年开始在CJPL-I运行采数









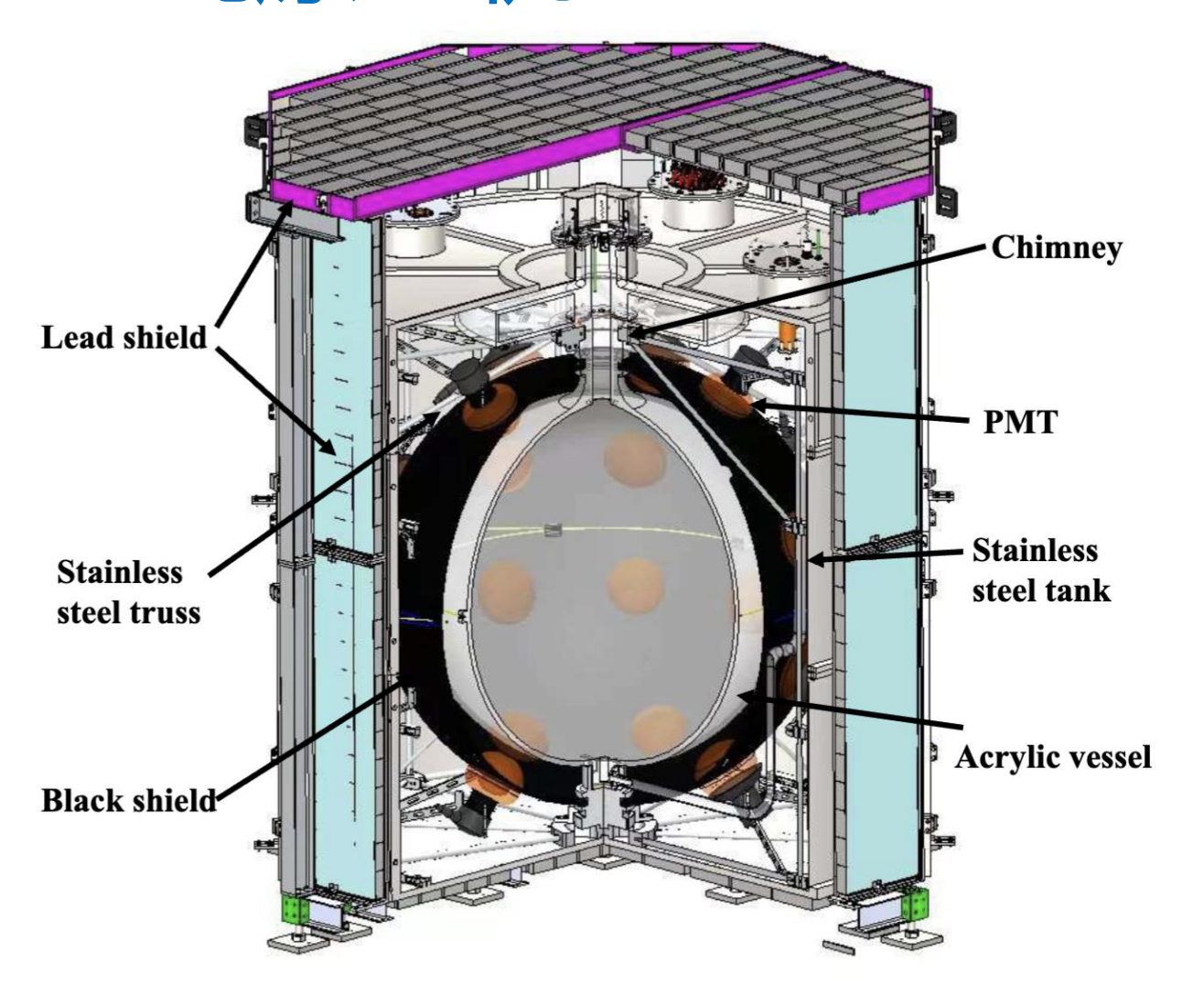
- ・中心亚克力球装载1吨慢液闪
- ・测试硬件
  - ・包括电子学和PMT等等
- ・测试慢液闪性能
- ・实地测量本底
  - ・宇宙线、天然放射性

• ...





# 一吨原型机



- ・中心亚克力球装载1吨慢液闪
- ・测试硬件
  - ・包括电子学和PMT等等
- ・测试慢液闪性能
- ・实地测量本底
  - ・宇宙线、天然放射性



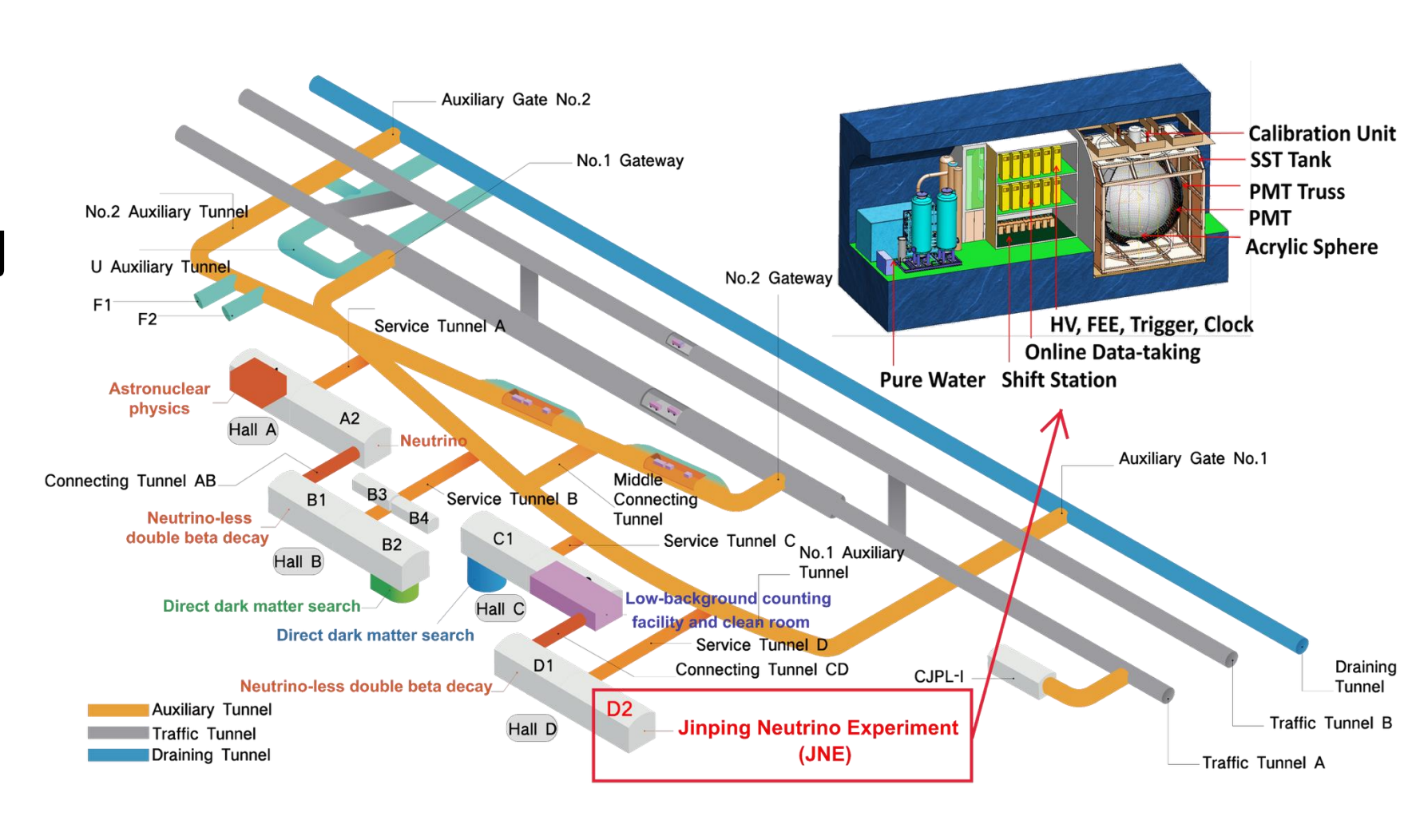
# CJPL二期



# CJPL整体布局

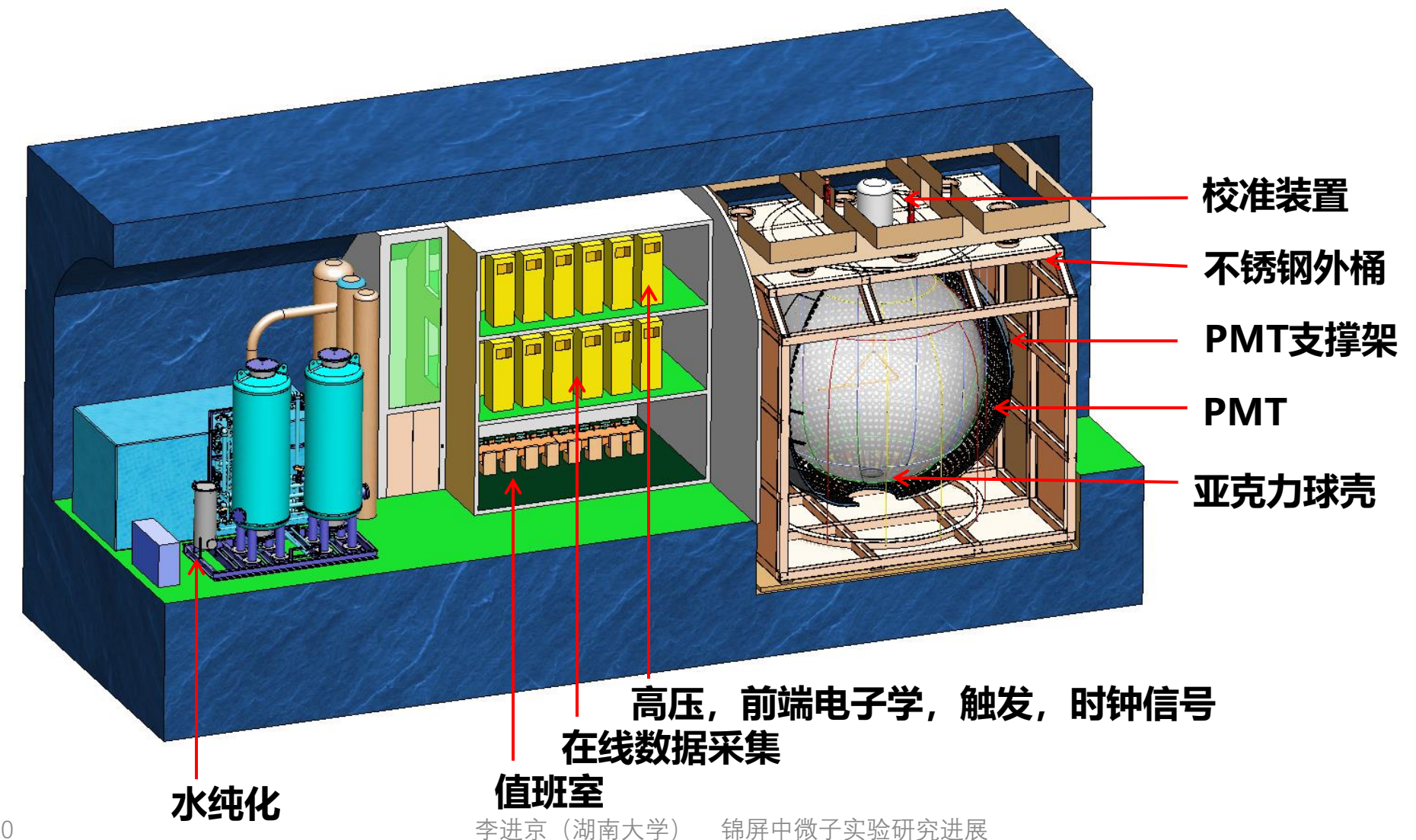


- CJPL-I
  - ・2010.12投入使用
  - · 4000立方米空间
- CJPL-II
  - 2023.12交付
  - ・33万立方米
- · 国际最大最深实 验室





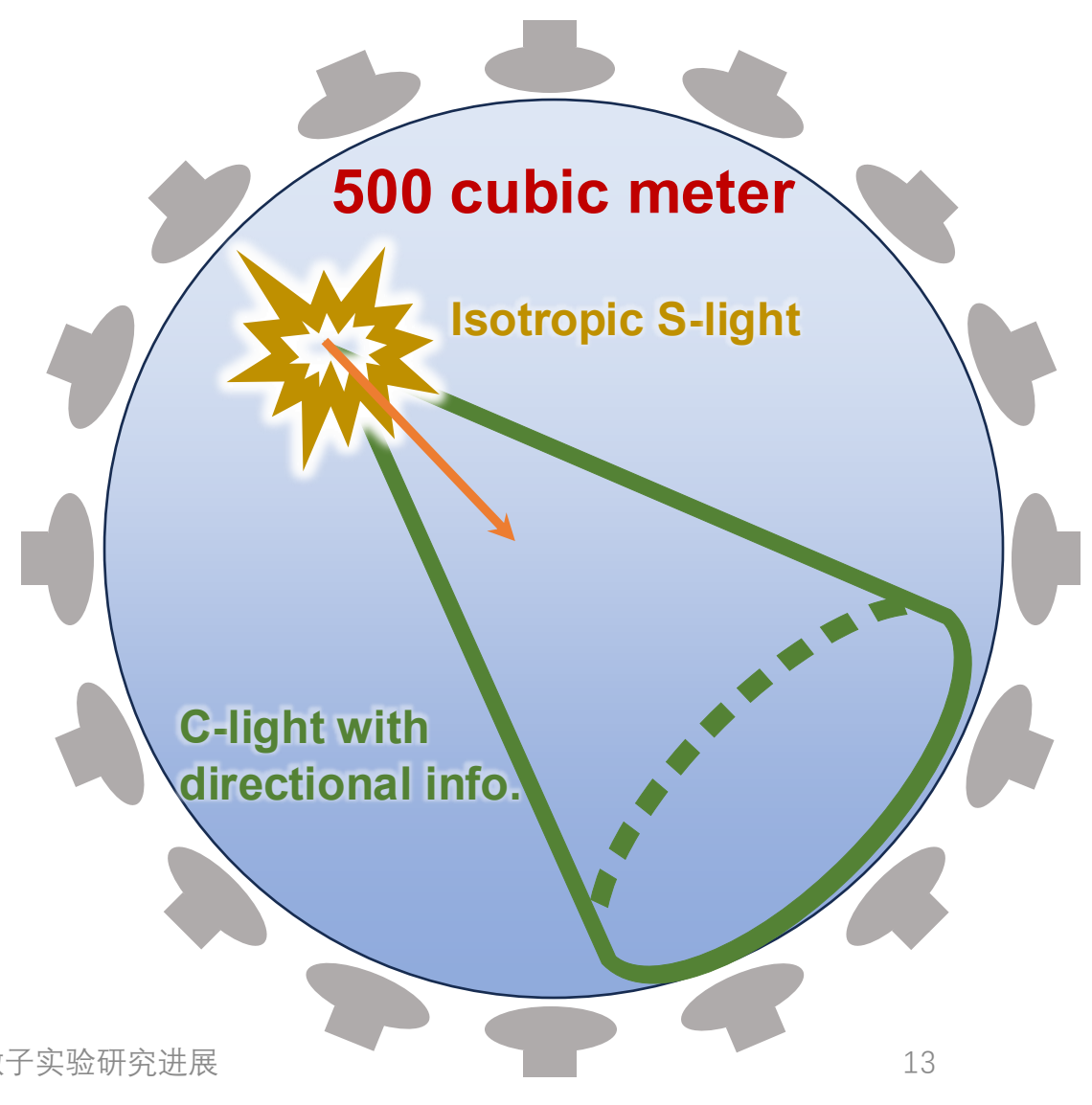
# 锦屏中微子五百吨探测器规划



### 锦屏中微子实验的最大特色



- 使用慢液闪作为靶物质
  - · "慢" → 区分切伦科夫光和闪烁光
  - ・同时重建粒子的能量和方向
  - ・达到极低本底的目标
- 对物理课题的帮助
  - ・粒子鉴別 (切伦科夫光强度)
  - ・利用太阳角剔除太阳中微子信号中 的天然放射性本底
  - ·获得超新星中微子的方向
  - ·获得地球中微子的方向

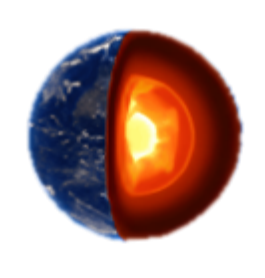




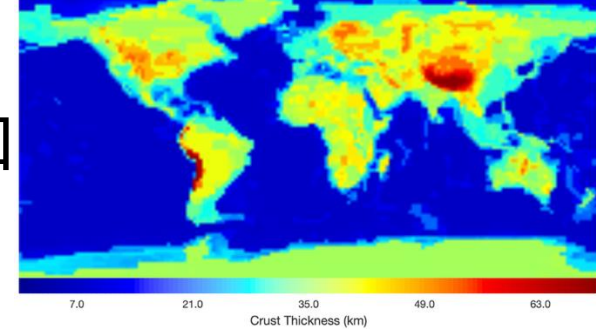




- 太阳中微子观测站
  - 极低宇生本底,通过太阳角排除天然放射性本底
  - ・真空-物质振荡过渡
  - · CNO中微子精确测量,高低金属丰度...



- ・地球中微子
  - 临近青藏高原,提供地质迁移研究窗口
  - · 流强测量, U/Th比, 放射性产热贡献





・超新星中微子

### 时间规划





百吨探测器结构设计



逐事例方向重建与粒子鉴别



FADC和读出电子学设计与测试



• 8-inch MCP-PMT研发

百吨探测器安装与采数

Letter of Intent

→ ArXiv:1602.01733

2015

2017



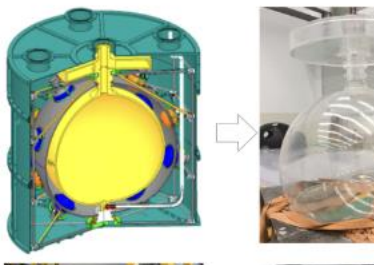
2023

2024

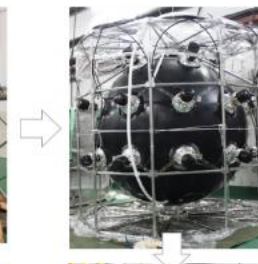
2026

百吨探测器建造

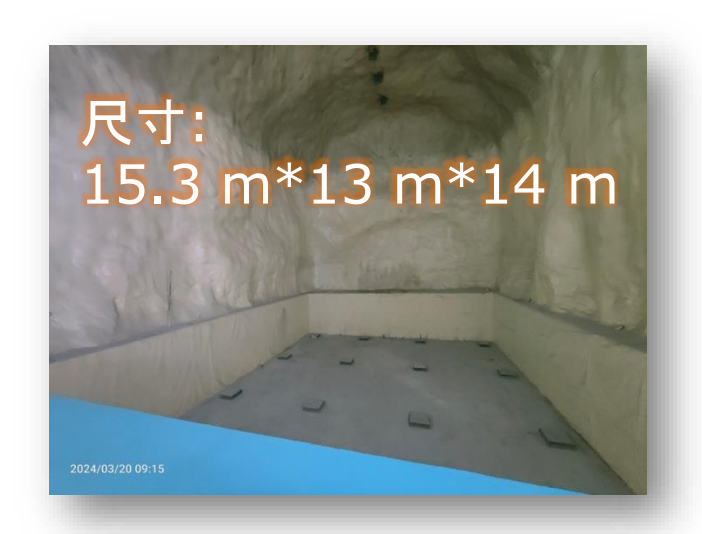


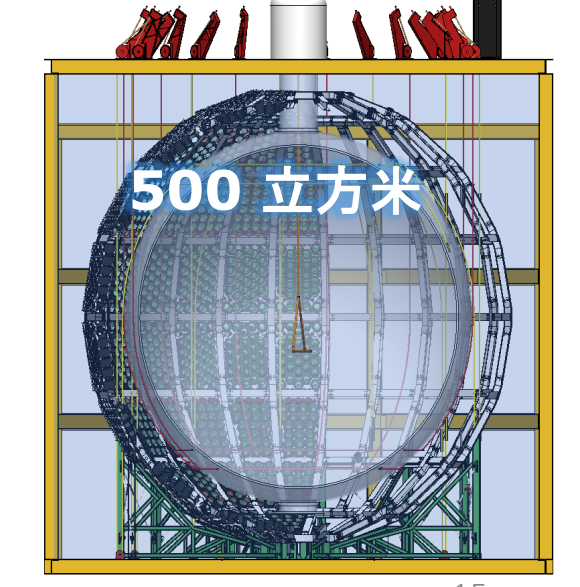












李进京(湖南大学) 锦屏中微子实验研究进展

# 一吨原型机研究进展

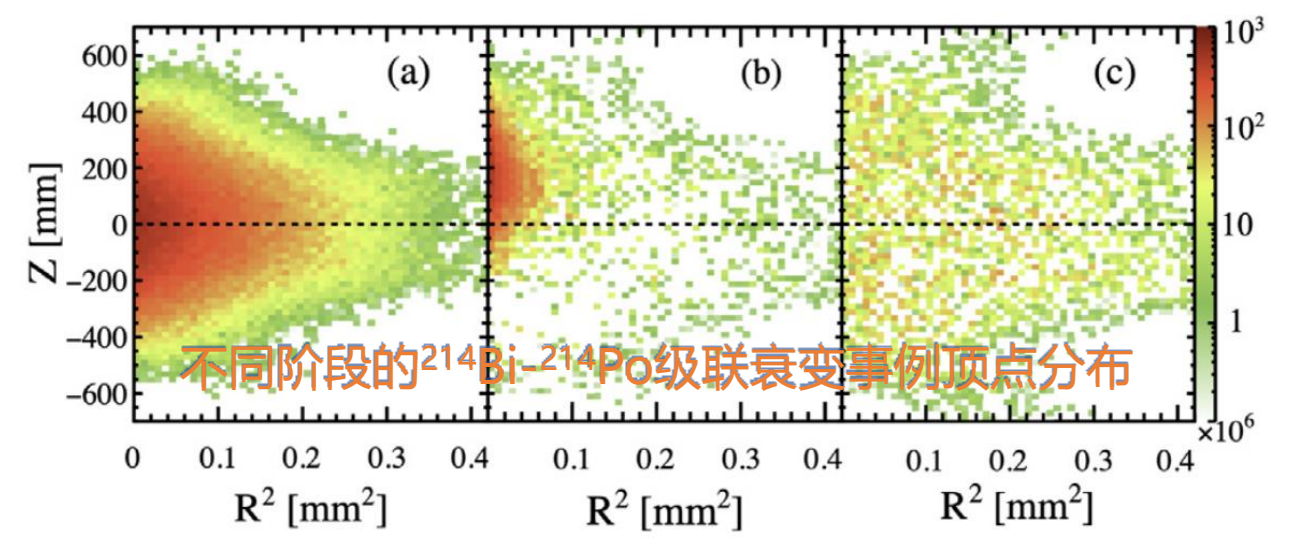


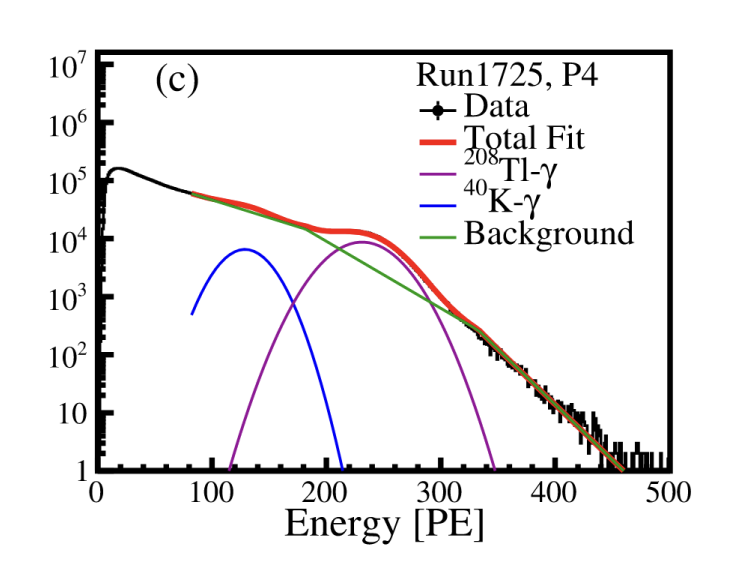


详见期刊论文

NIM-A 1054 (2023) 168400

- · 在无外源情况下利用暗噪声和天然放射性完成PMT刻度,和事例重建
- · 利用<sup>214</sup>Bi-<sup>214</sup>Po的β-α级联衰变监测氡气泄漏,安装氮气系统
- · 利用β-α, γ等信号测量PMT和液闪的放射性污染水平
  - PMT:  $^{232}$ Th $\rightarrow$ (1.12±0.32)×10<sup>-6</sup> g/g;  $^{40}$ K $\rightarrow$ (4.67±1.35)×10<sup>-8</sup> g/g
  - 液闪: <sup>238</sup>U→(1.28±0.16)×10<sup>-12</sup> g/g; <sup>232</sup>Th→<(2.49±0.50)×10<sup>-13</sup> g/g



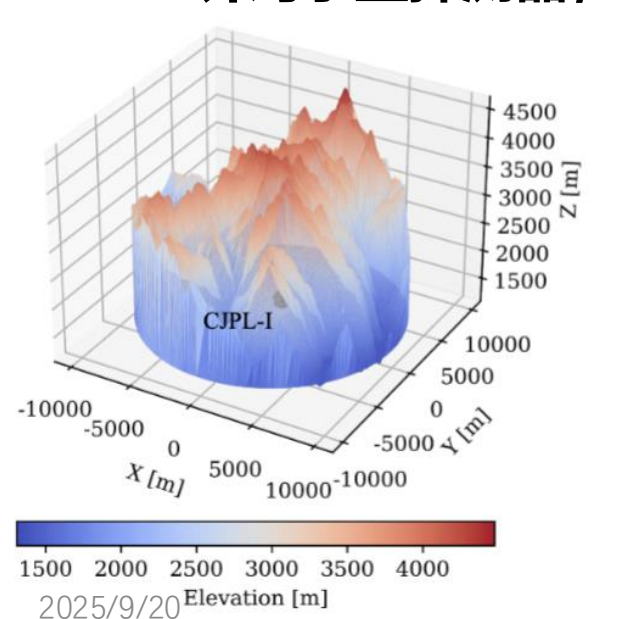


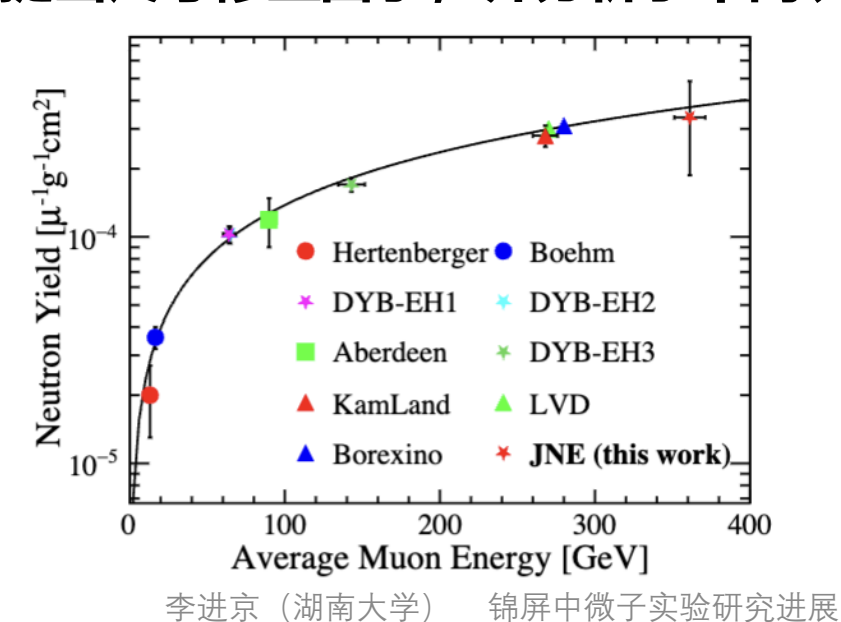


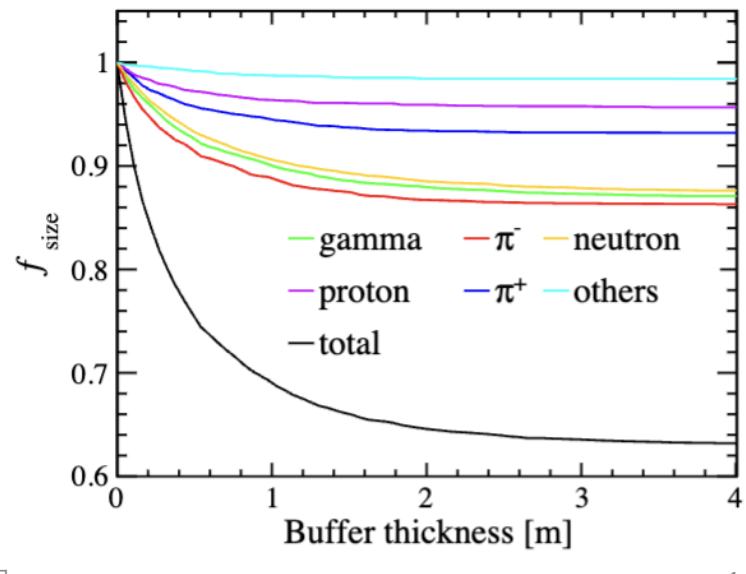


# 一吨原型机:宇宙线缪子及其本底

- ・使用1178天数据对缪子通量和缪致中子产额展开详细研究
- ・ 缪子通量: (3.56±0.16<sub>stat</sub>±0.10<sub>svst</sub>)×10<sup>-10</sup> cm<sup>-2</sup> s<sup>-1</sup>
  - · ~ 0.4个缪子每天
- · 提供国际上在液闪中缪子平均能量 (~360 GeV) 最高的缪致中子产额点: (3.37±1.41±0.31)×10<sup>-4</sup> μ<sup>-1</sup>g<sup>-1</sup>cm<sup>2</sup>,
  - 针对小型探测器,提出尺寸修正因子,并分析了不同次级粒子的贡献







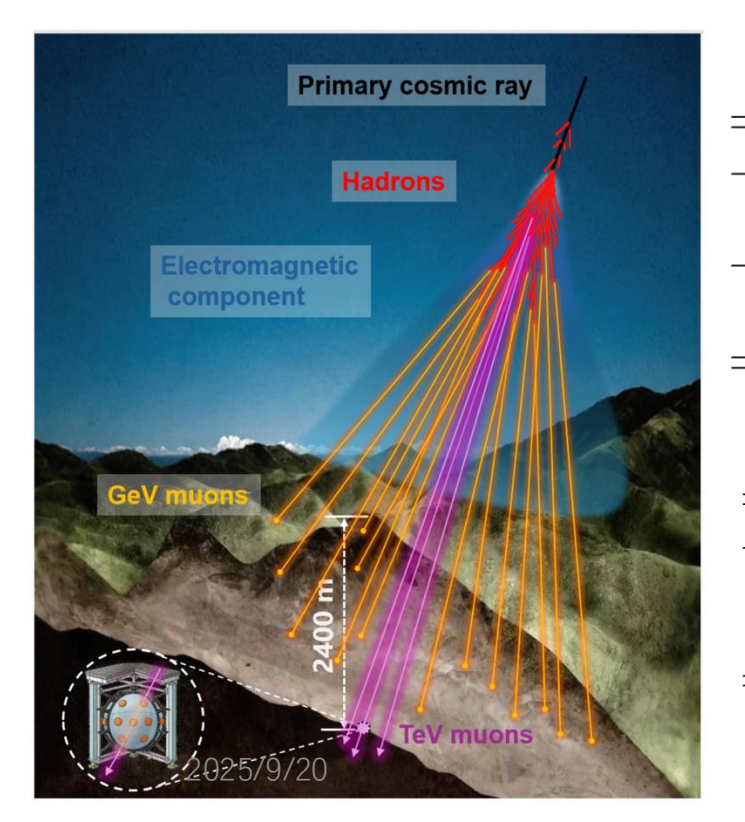
Phys. Rev. D 110, 112017 (2024)





# 一吨原型机:宇宙线缪子流强预测

- Muon Puzzle:
  - ・ 基于现有QCD模型对大气簇射模拟得到的缪子通量与测量相比存在明显缺失 (≥100 PeV)
- · 物理研究: 锦屏山体屏蔽提高了测量到的"原初"缪子能量: 3 TeV-0.1 PeV
  - · 目前观测到40%的流强偏差,可以限制QCD和大气模型,间接研究Muon Puzzle



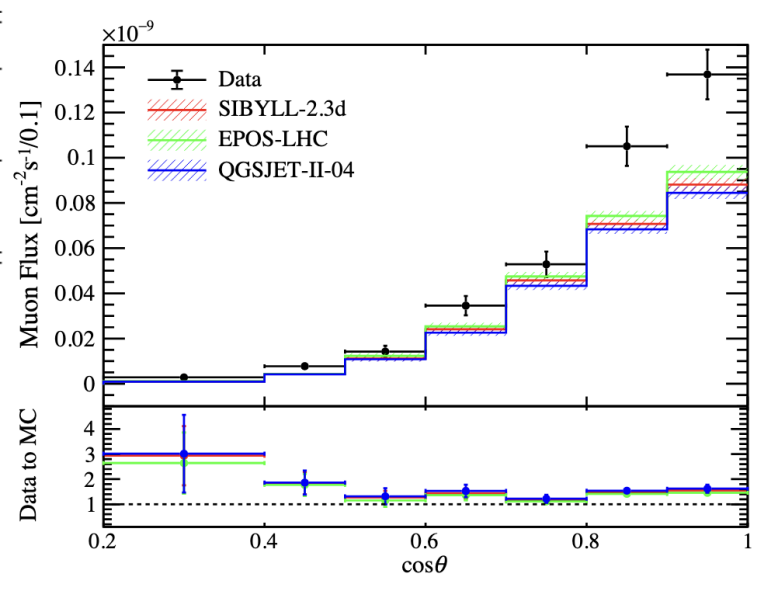
#### 误差研究

	Uncertainty [%]
Statistics	4.2
Systematics	2.2
Seasonal variation	0.5
<b>Detector position</b>	1.6
	Systematics Seasonal variation

#### 和常用QCD模型结果比较

Model	Flux ratio	Excess significance
SIYBLL-2.3d	$1.44 \pm 0.07$	$6.0\sigma$
<b>EPOS-LHC</b>	$1.38 {\pm} 0.07$	$5.5\sigma$
QGSJET-II-04	$1.51 \pm 0.08$	$6.7\sigma$

#### 在角分布上的比较无明显趋势

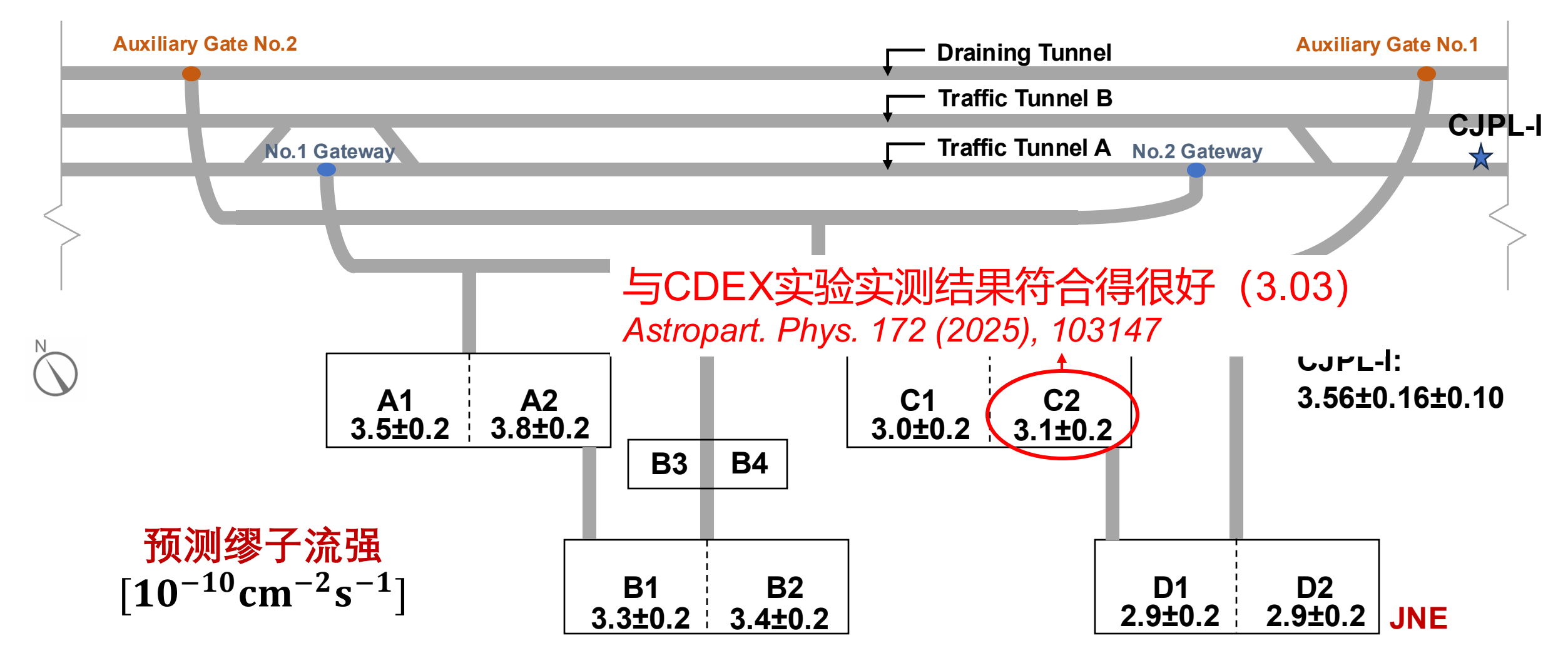


文章内审中,已在ICRC和TAUP汇报





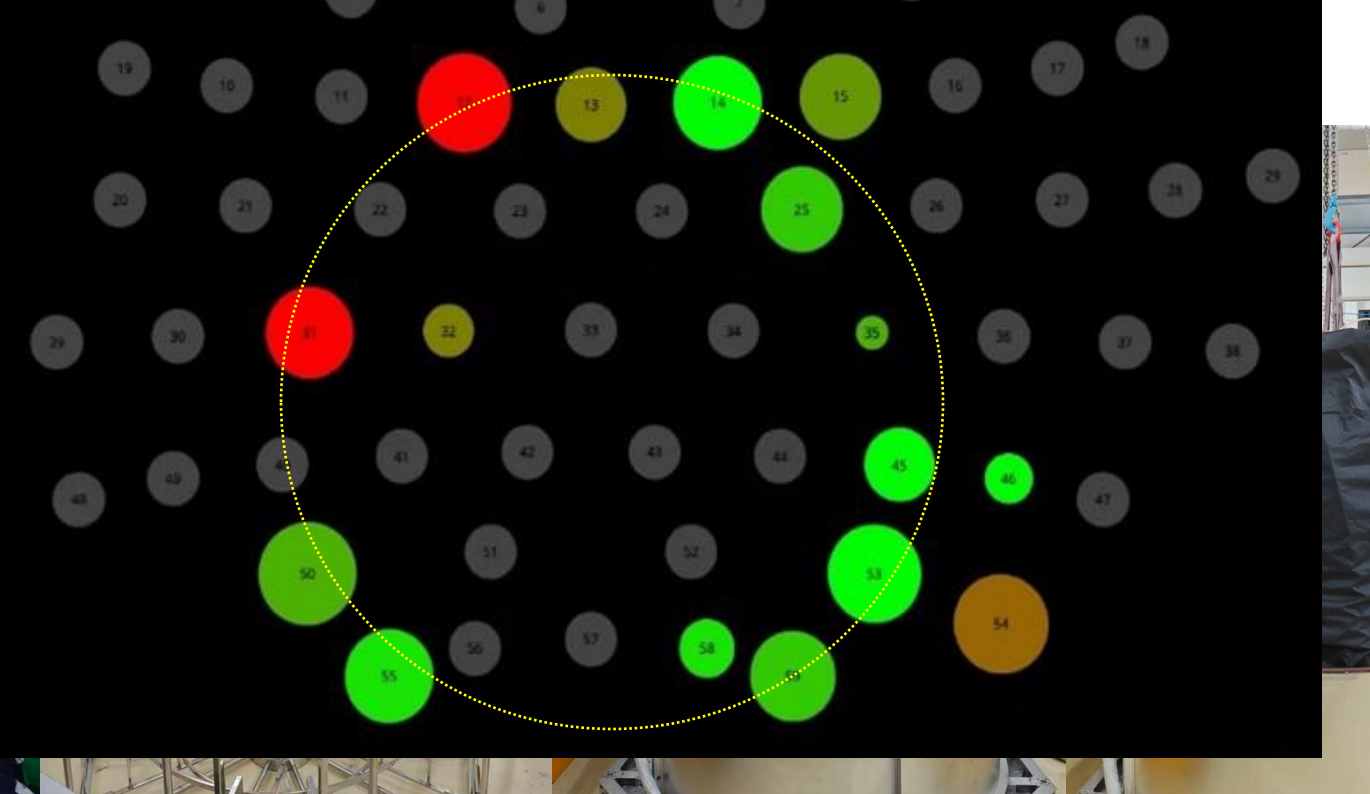
# 一吨原型机:宇宙线缪子流强预测



# 一吨原型机升级

**Cherenkov light** 

- ・主要升组
- ・作为百
- ・目前以







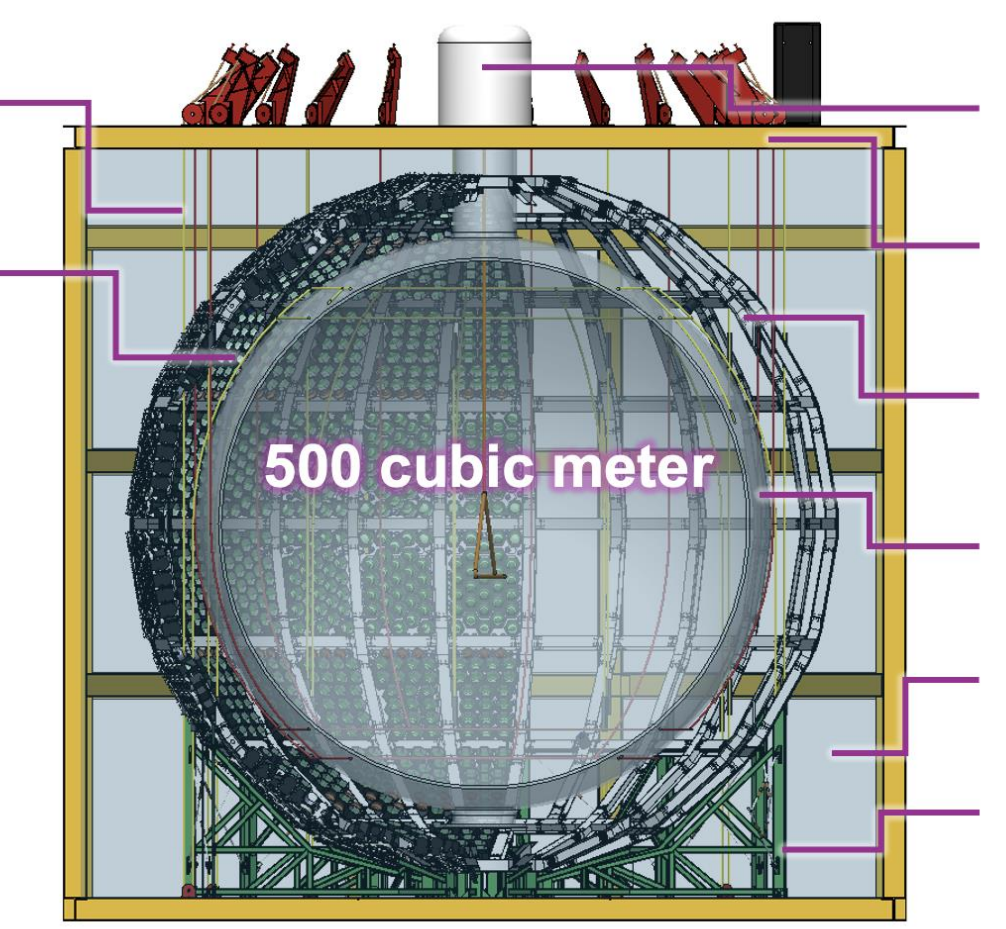
# 五百吨探测器研究进展

# 五百吨探测器概念图



绳索系统

8-inch MCP-PMT+光收集器 ~4000支, ~50% 覆盖率



刻度装置

不锈钢桶(SST) 14.5 m \*12.9 m \*13.2 m

不锈钢PMT支撑架 内径: 12.16 m

亚克力容器 内径: 9.96 m, 厚度: 5 cm

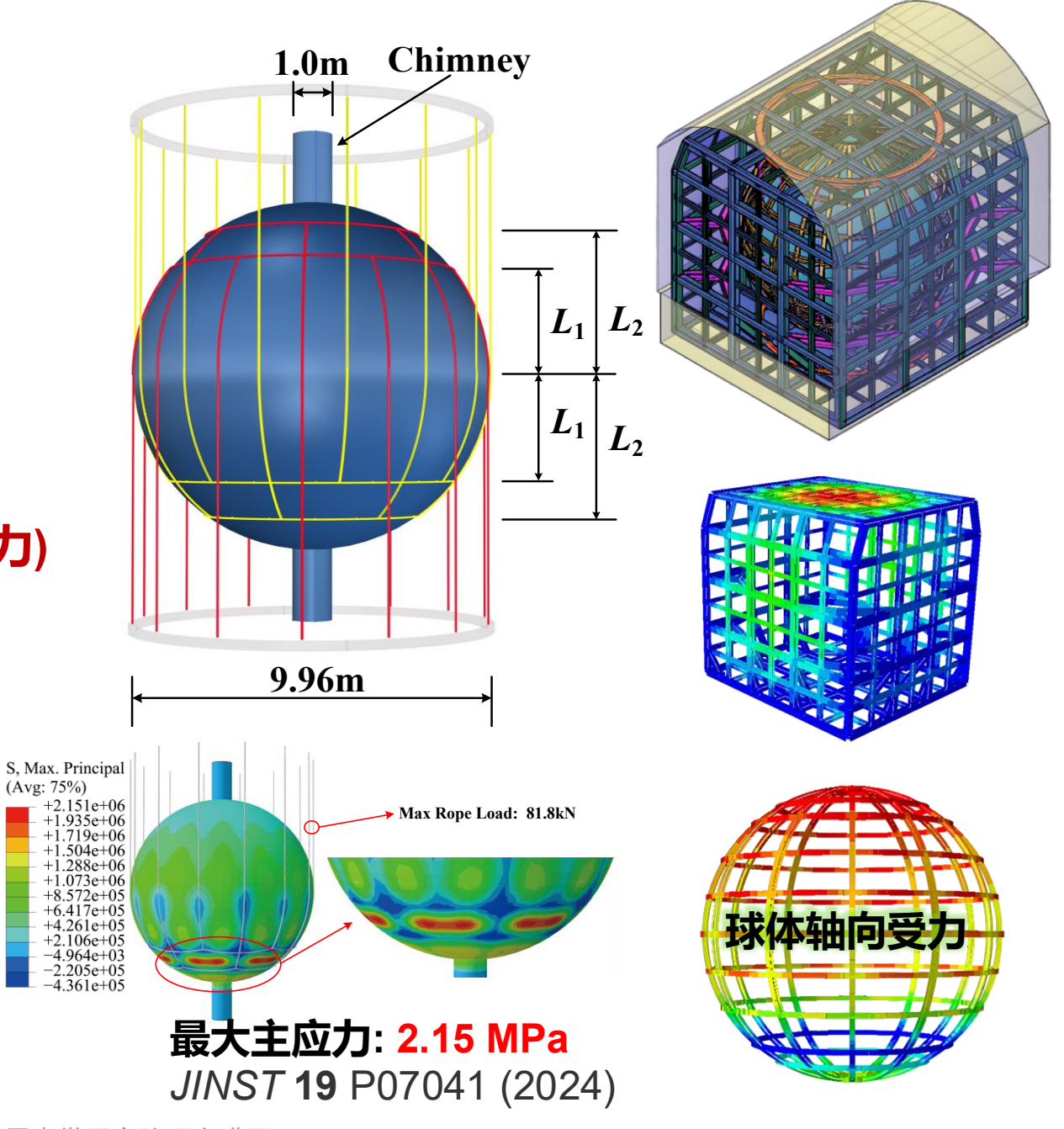
屏蔽材料 水,铅

不锈钢支撑结构

# 中心探测器

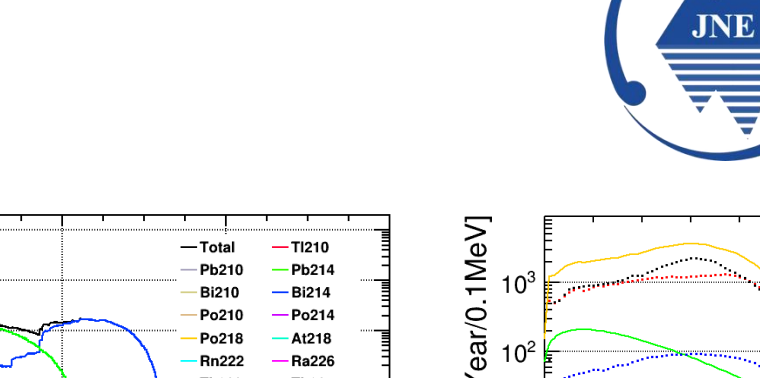
- · 9.96 m 直径球形亚克力容器, 500 立方米
  - 可更换靶介质,水,液闪,掺杂
- ・ 绳索支撑亚克力球
  - · 与水相比的密度变化: ±20% (重力或者浮力)
  - · 低本底材料,高强度,低蠕变
- 不绣钢架和亚克力球的力学分析已经完成





# 放射性本底

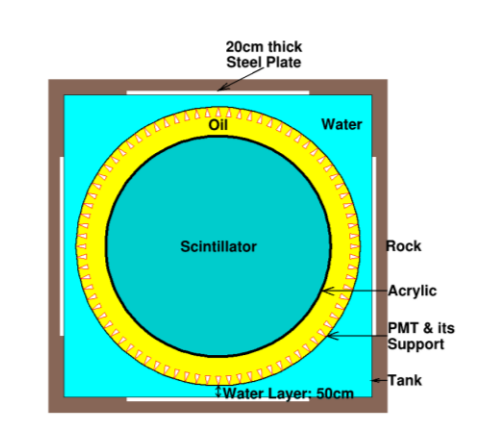
- ·天然放射性衰变: β, γ
- ・中子本底
  - · (α, n)和<sup>238</sup>U自裂变
- ・研究策略
  - ・输入本底能谱→在不同屏蔽方 案下模拟 > 本底事例率 > 确定 最优屏蔽方案
- ・最优方案
  - ・50 cm 水层
  - 7 m×7 m×20 cm 钢板
  - 使用掺硼聚乙烯封装PMT



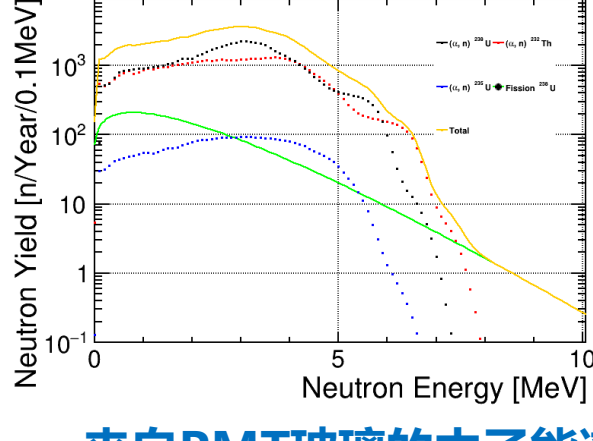


-Pa234

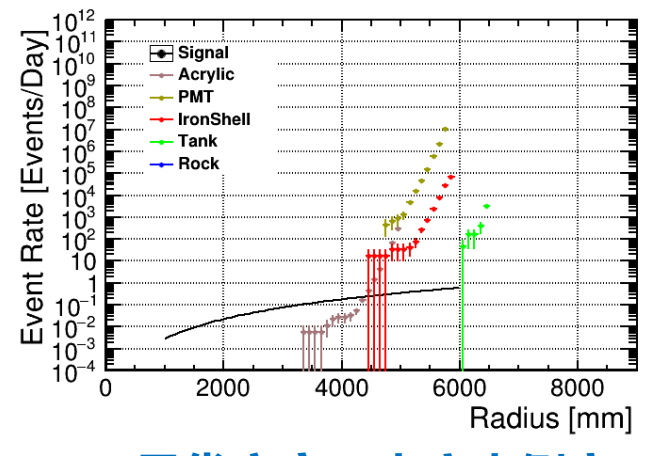
β, γ Energy [MeV]



最优屏蔽方案结构图



#### 来自PMT玻璃的中子能谱



最优方案下本底事例率

γ Yield [Arbitrary Unit]

# )



# 慢液闪 (LAB+PPO+bis-MSB)

• 角度分辨和能量分辨

· 角度:切伦科夫光,具有方向性,

· 能量:闪烁光为主, 各向同性,

· 减少闪烁光干扰 → 重建方向

• 调整闪烁光发光时间 (油基液闪)

Coincidence scintillators

Coincidence scintillators

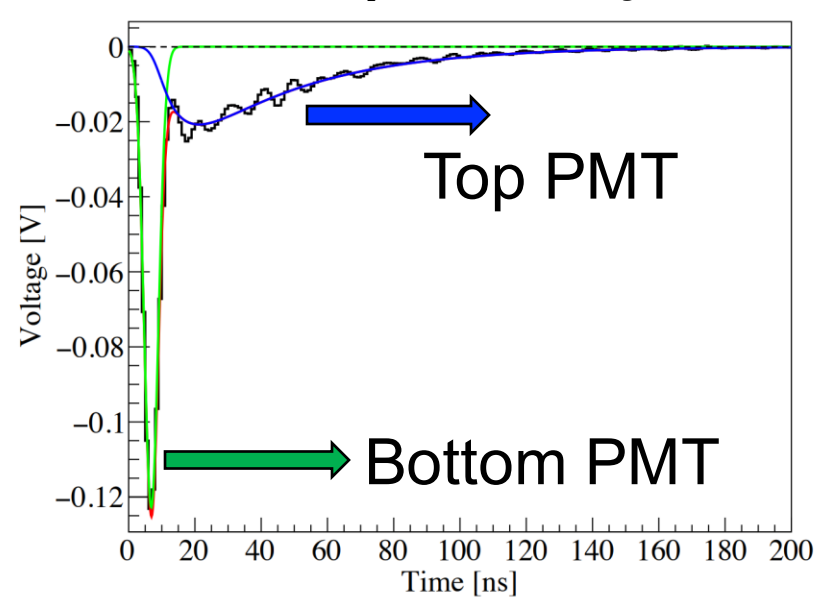
Acrylic container Liquid scintillator

Anti-coincidence scintillators

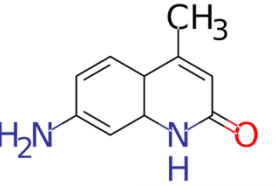
李洪京(湖南大学)

瞬发, 产额低 发光慢, 产额高

> 详情参见: NIM-A 830 (2016) Astroparticle Physics 109 (2019) 33–40



#### C-124



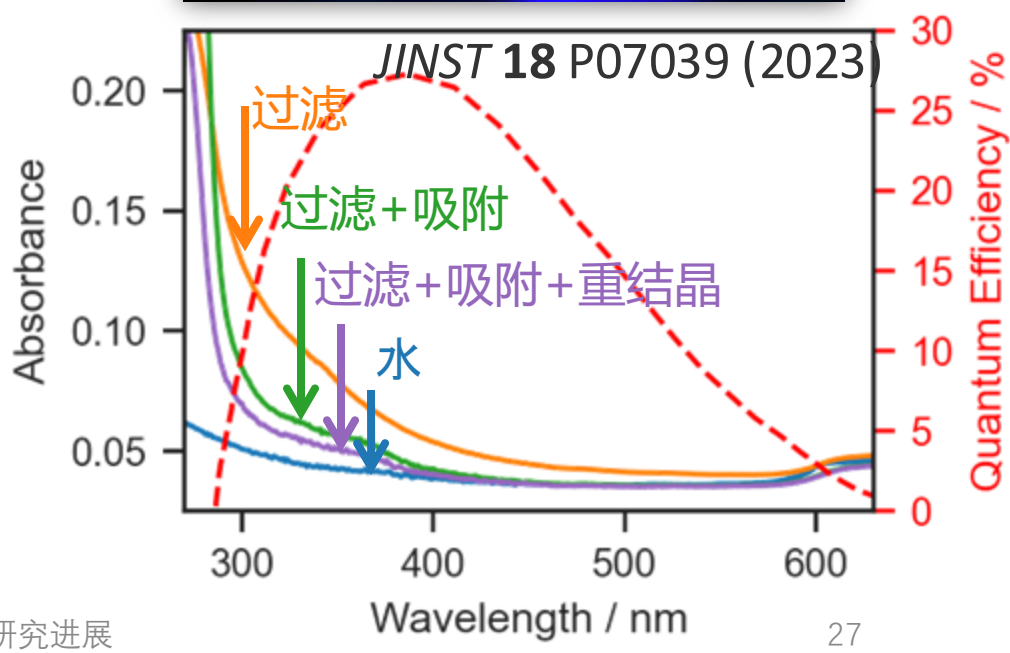




# LiCl方案

- · LiCI水溶液 + C-124作为探测介质
- 对中微子:  $\nu_e + {}^7\mathrm{Li} \rightarrow {}^7\mathrm{Be} + e^-(+\gamma)$ 
  - ・对低能太阳中微子具有较高截面
  - · 对太阳®B中微子总截面是v-e弹性散射的约60倍
- 对反中微子: 反贝塔衰变
  - ・ <sup>35</sup>CI高中子俘获截面 (43 barn)
  - ・释放高能量gamma: ~8.6 MeV
- ・高天然丰度
  - <sup>7</sup>Li: 92%, <sup>35</sup>CI: 76%
- ・高溶解度: 100 g 水可溶80 g LiCl
- · 430 nm处的光衰减长度可以达到50 m





# MCP-PMT和电子学



 $\rightarrow$  U/Th: <4×10<sup>-8</sup> g/g, K-40: <4×10<sup>-9</sup> g/g

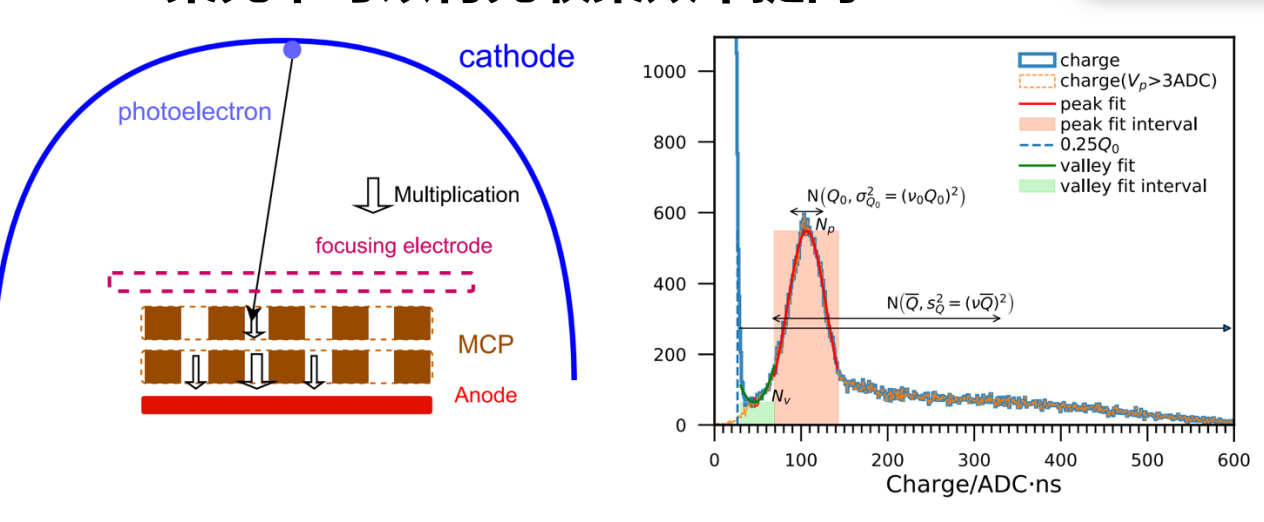
▶ 高量子效率: ~30%

> 镀膜: 提升探测效率和MCP寿命

> TTS: <1.8 ns

➤ 600 支MCP-PMT已经生产完成

> 集光罩可以将光收集效率提高~40%

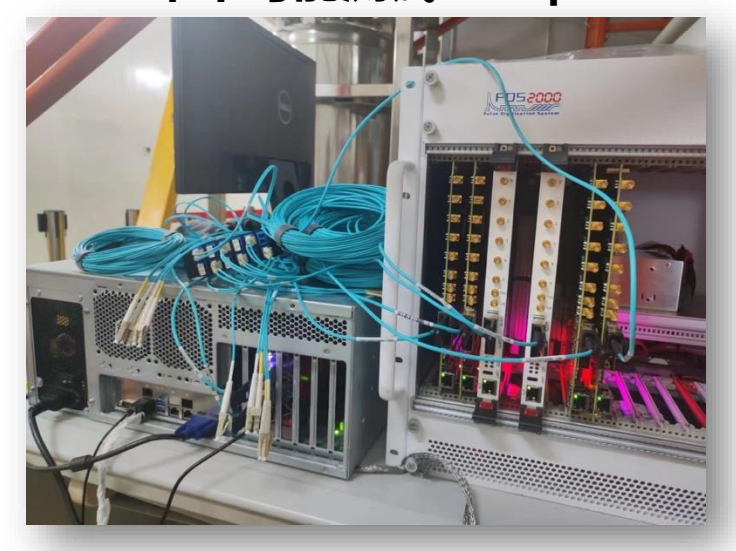








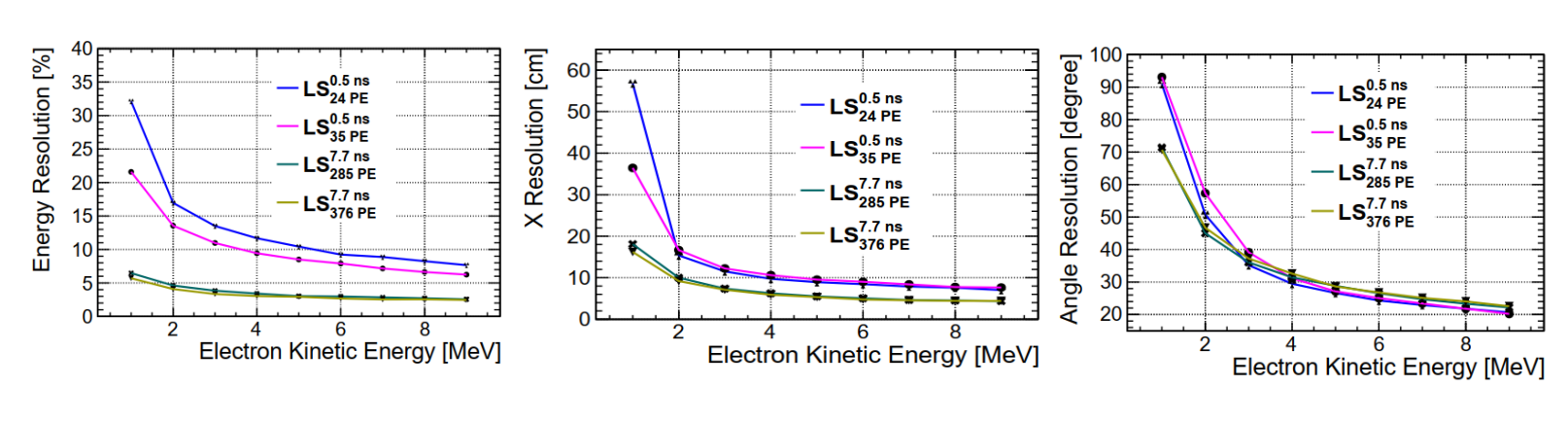
- > 14 bit, 1 GSps, 800 mW/ch
- > 数据传输带宽与之前CAEN相比
  - ➤ 提升3个量级到128 Gbps
  - ➤ 触发率上限随之提升到~193.5 k
- > 在一吨原型机中测试
  - > 与CEAN读出对比
  - ▶ 未来可能测试5 GSps/12 bit电子学



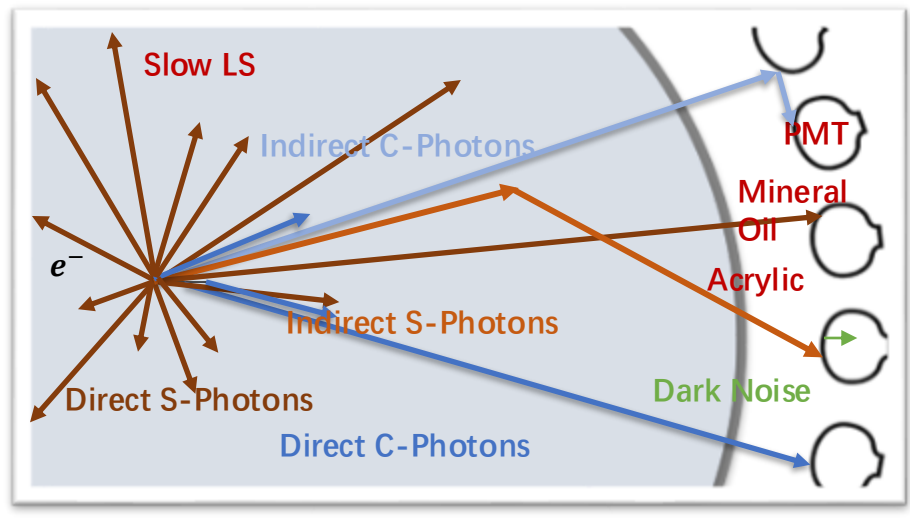
参见: NIM-A 1055 (2023) 168506, NIM-A 1080 (2025) 170755

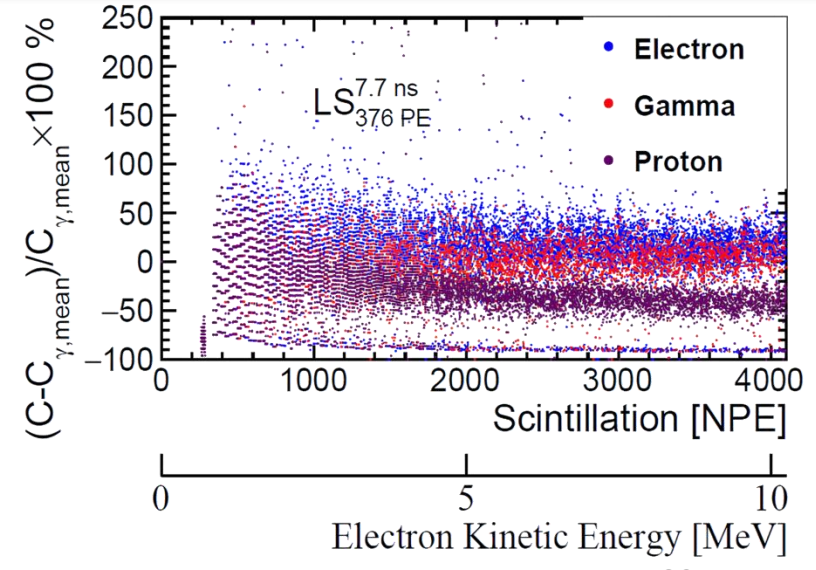


- 利用慢液闪重建切伦科夫光和闪烁光
- 逐事例的方向、能量和位置重建
- · 切伦科夫光发光能力:
  - e>γ>p≈α, 粒子鉴别
  - · 参见: JINST 18 (2023) 02, P02004









Jinping Sim. & Ana. Package (JSAP)

・ JSAP 使用 Geant4 和 GDML 来导入和 构建各种探测器几何结构,例如球形探测 器和圆柱形探测器

- 包含电子学与触发模拟,能够输出波形
- 采用如下所示流式触发模拟

模拟 重建 **JSAP** 事例显示 物理分析 电子学模拟模块:添加 波形 暗噪声、预触发、脉 输出文件 冲整形和触发,得到

事件发生器模块: 混合所有本底和 信号的主顶点

主顶点

探测器模拟模块: 物理过程模拟, 最终 得到PMT击中信息

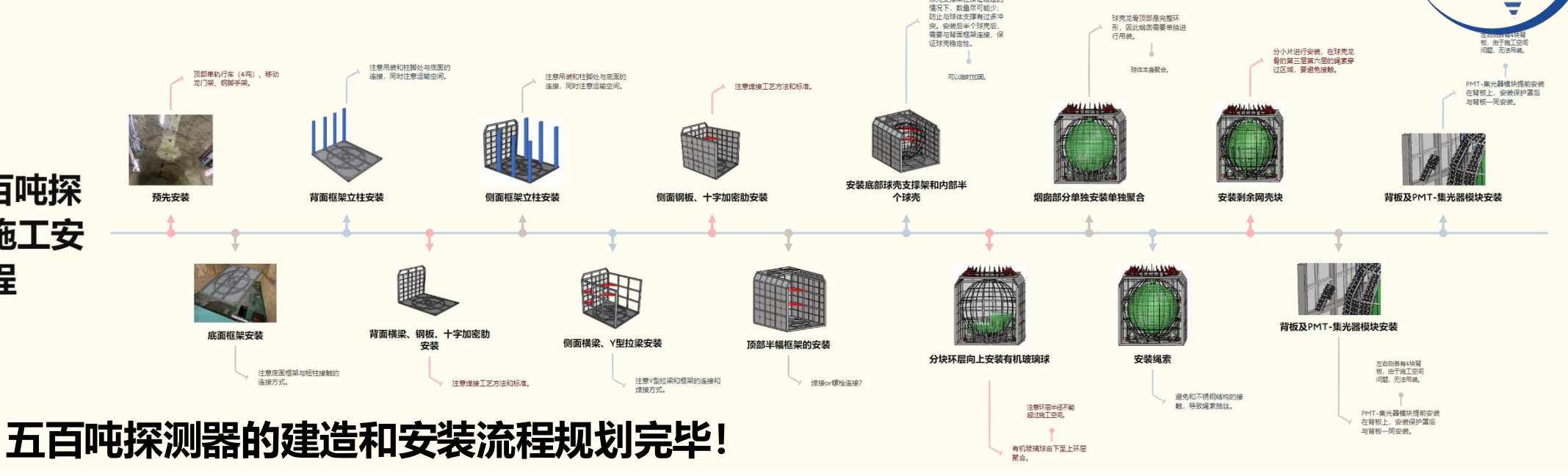
PMT击中

最终波形

时间分段循环

PMT击中信息缓冲区





#### 2024年3月结构设计和施工方案研讨会 2024年10月施工方案研讨会



JNE百吨探

测器施工安

装流程



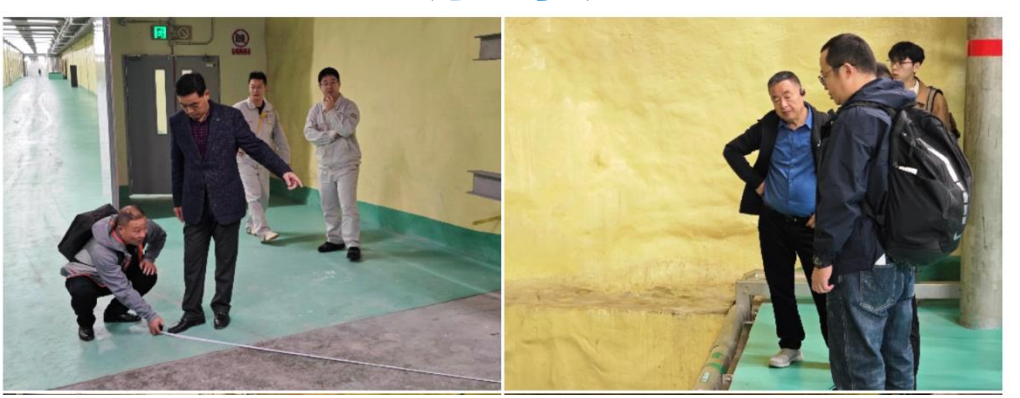
#### 2024年11月厂家现场勘察

JNE百吨探 测器

这就是建造JNE百

吨探测器的方法。

完



2025/9/20 李讲京(湖南大学) 锦屏中微子实验研究进展 31

# 五百吨探测器规划



2027 2028 2038

Phase I Phase II Phase II

・ 靶材料: 水

・ 主要目标:

• 检查探测器运行情况

• 靶材料:

LiCI 水溶液(水基) 慢液闪(油基)

- ・主要目的:
  - ・太阳、地球和超新星中微子
    - 靶材料:

掺Nd 液闪

・主要目的: 0vββ研究

### 五百吨探测器CDR和TDR

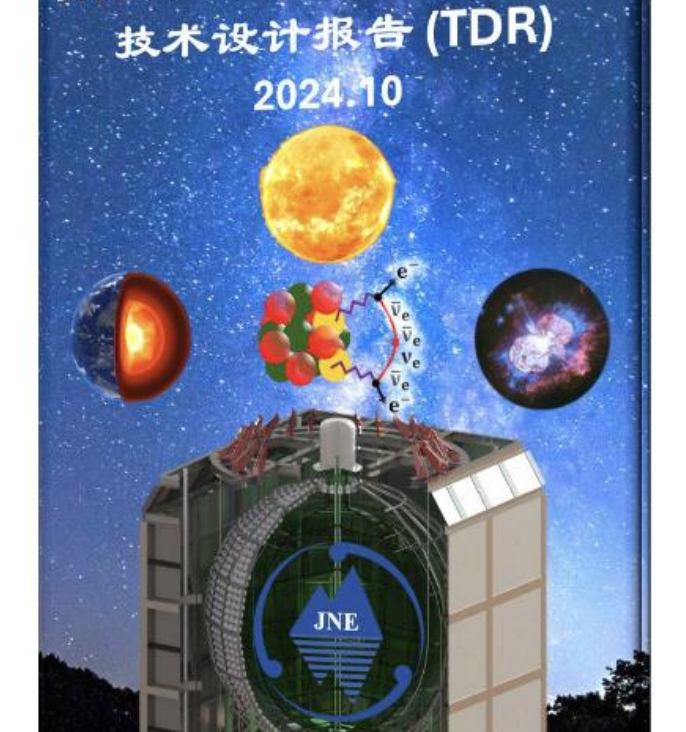
深地兆电子伏能区太阳中微子观测站概念设计报告

--中微子"清心"计划

2024年8月19日:完成了锦屏中微子探测器概念设计报告 (CDR) 初稿,并通过了科学 评审。

2024年10月18日:完成了锦 屏中微子探测器技术设计报告 (TDR) 初稿,并通过了技术 评审。

**清华大学** 北京工业大学 山东大学 南开大学 合肥工业大学 中山大学



JNE-中微子"清心"计划

**JNE-500 TDR** 



中国科学院大学

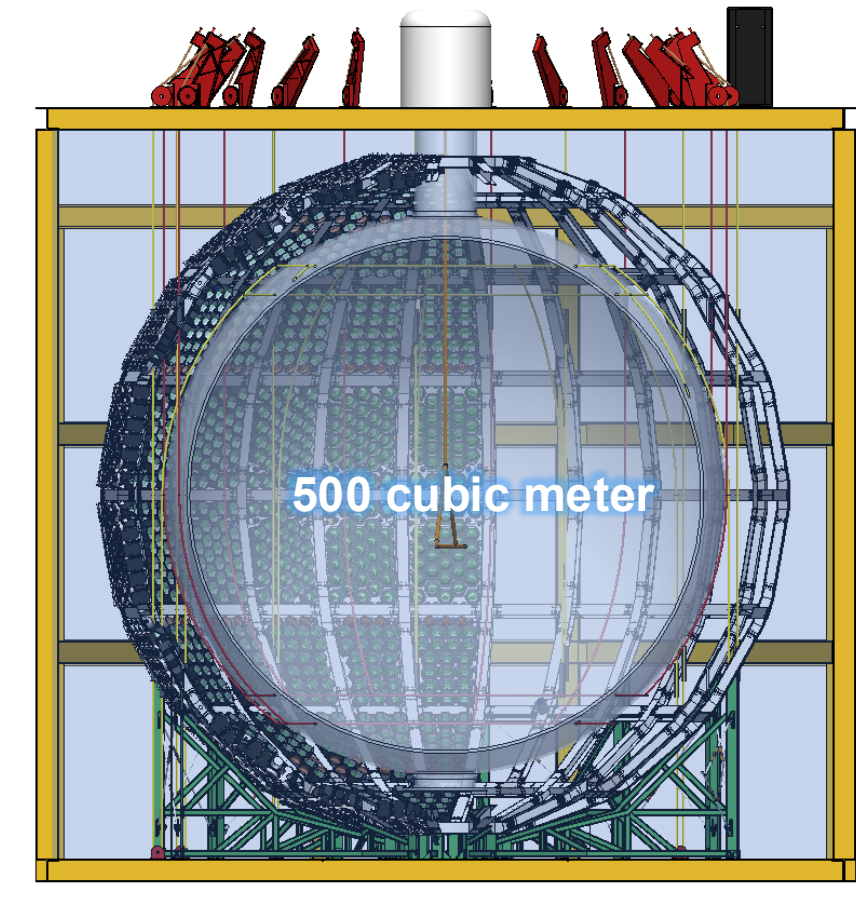


- 五百吨太阳中微子观测站预计在2026-2027建成
- 使用新型8-inch MCP-PMT
  - 高时间分辨, 高量子效率
- 清华自研高性能电子学在设计和测试中
- · 探索氯化锂水溶液探测方案
- ・基于慢液闪开发重建算法
  - 实现方向重建和粒子鉴别,实现极低本底

锦屏中微子实验研究进展

- 探测器设计和安装已规划完成
- http://jinping.hep.tsinghua.edu.cn





# 谢谢!



# BACKUP

### Geo-neutrino

- Energy resolution: 500 PE/MeV, 4.4%/Sqrt[Evis]
- SlowLS, IBD, neutron capture on hydrogen

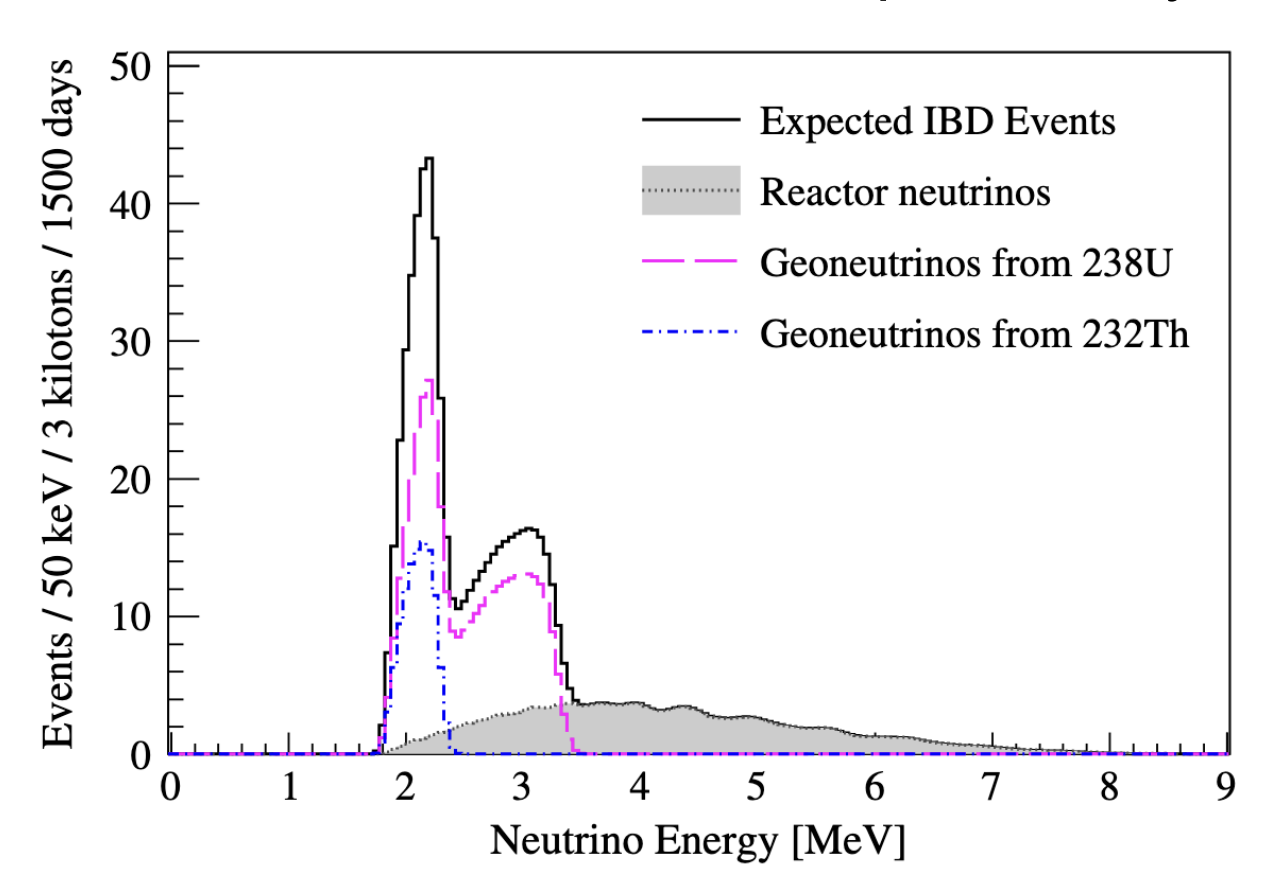


TABLE V. Summary of predicted geoneutrino event rates in TNU at Jinping.

Geo $\bar{\nu}_e$ (TNU)	Crust	Mantle	BSE
Гһ	$10.6\pm0.8$	$2.1\pm0.5$	$12.7 \pm 1.0$
U	$38.4 \pm 6.6$	$8.3 \pm 2.3$	$46.7 \pm 6.7$
$\Gamma h + U$	$49.0 \pm 7.3$	$10.4 \pm 2.7$	$59.4 \pm 7.6$

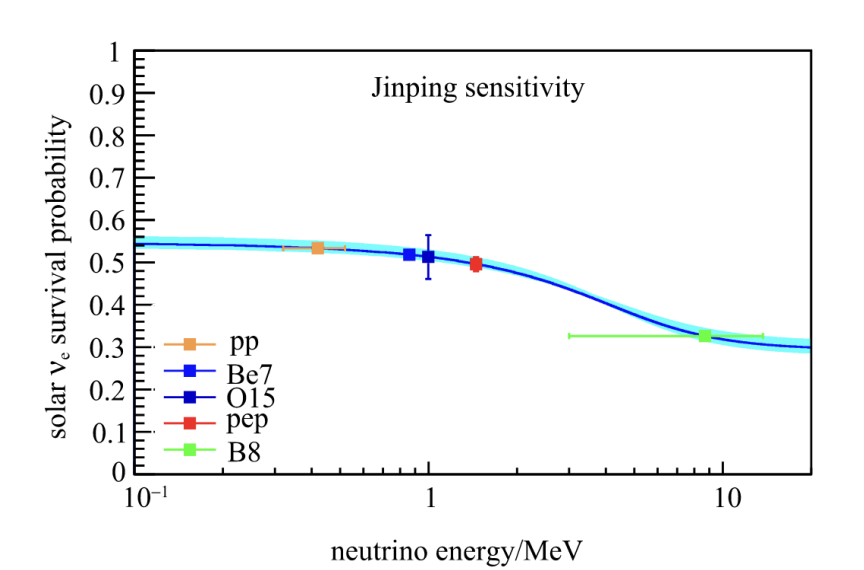
TABLE VI. Geoneutrino and reactor neutrino event rates and total events with an exposure of 3 kt  $\times$  1,500 days at Jinping.

	C	Geoneutrino		Reactor	
	<sup>238</sup> U	<sup>232</sup> Th	Total	FER	SER
Event Rate (TNU) Total Events	46.7 414.5	12.7 113.6	59.4 527.3	27.8 246.8	6.8 60.4

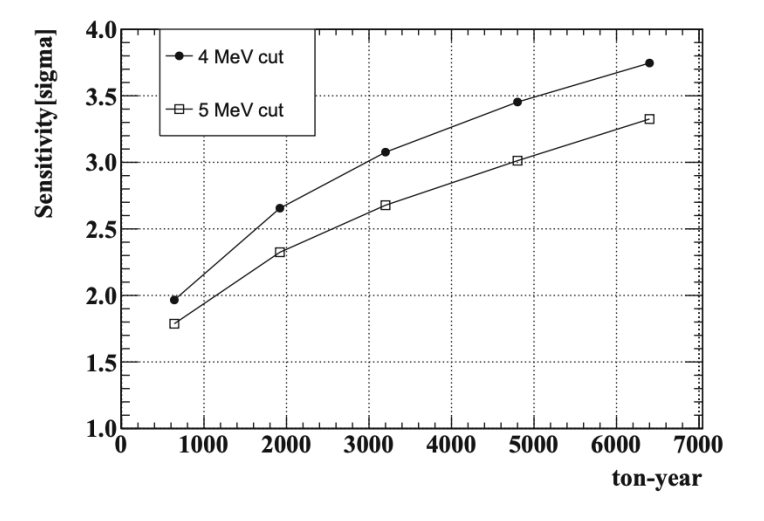
# Sensitivity

Table 11. Expected event rates for the supernova relic neutrinos and the corresponding backgrounds with  $E_{\rm vis}$  in the range around 10–30 MeV. For the signal, the ranges of several models' predictions are printed. Background rates are calculated assuming a liquid scintillator target, and the atmospheric CC and NC background rates in parentheses are the results with a slow liquid scintillator target.

event rate	$\frac{1}{\text{kton-year}}$	$\frac{1}{10 \text{ kton-year}}$	$\frac{1}{20 \text{ kton-year}}$
signal	0.05 – 0.66	0.5 – 6.6	1–13
accidental	0	0	0
reactor	0	0	0
fast neutron	$0.7\times10^{-3}$	$7 \times 10^{-3}$	$14\times10^{-3}$
$^9 { m Li}/^8 { m He}$	$1 \times 10^{-3}$	$10\times10^{-3}$	$20\times10^{-3}$
atmos. CC	0.2 (0.1)	2 (1)	4(2)
atmos. NC	0.2 (0.1)	2 (1)	4 (2)
total bkg.	0.4 (0.2)	4(2)	8 (4)



surements [74, 75, 77]. Bottom plot: We assume a 2000-ton target mass, 1500-day exposure, a resolution of 500 PE/MeV, and the low metallicity hypothesis. The five points with error bars are the simulation results for pp, <sup>7</sup>Be, pep, <sup>15</sup>O and <sup>8</sup>B, in which the central values are set to the true ones, the y-error bars include both statistical and systematic uncertainties and the x-error bars correspond to the range of energy measurement, while the <sup>15</sup>O x-error is omitted for a clear view.



**Fig. 11** The sensitivity of rejecting no upturn effect versus the exposure. More detector resolution and signal selection information can be seen in Sect. 4.1